



БИООРГАНИЧЕСКАЯ ХИМИЯ

том 12 * №11 * 1986

УДК 577.113.6.088.53:543.422.25

ИССЛЕДОВАНИЕ ТЕРМИЧЕСКОЙ ДЕНАТУРАЦИИ КОМПЛЕМЕНТАРНОГО КОМПЛЕКСА $d(pTGTGCGC) \cdot d(pGCCAAC)$ В ВОДНОМ РАСТВОРЕ МЕТОДОМ ^1H -ЯМР

Биченкова Е. В., Денисов А. Ю., Кутявин И. В.,
Лебедев А. В.*

Новосибирский институт биоорганической химии;

** Новосибирский институт органической химии Сибирского отделения
Академии наук СССР*

Методом ^1H -ЯМР (200 и 360 МГц) исследованы октануклеотиды $d(pTGTGCGC)$ и $d(pGCCAAC)$, а также их комплементарный комплекс. Проведено отнесение сигналов всех необмениваемых протонов гетероциклических оснований инкрементным методом с использованием фрагментов этих октануклеотидов длиной от двух до семи звеньев. Показано, что на химические сдвиги протонов влияют не только ближайшие с 3'- и 5'-конца нуклеотиды, но и более дальние остатки нуклеотидов (вплоть до третьего, если это dA и dG). Методом ^1H -ЯМР исследован процесс термической денатурации комплекса $d(pTGTGCGC) \cdot d(pGCCAAC)$. Получены кривые зависимости химических сдвигов сигналов от температуры для каждого необмениваемого протона всех гетероциклических оснований. Установлено, что плавление комплекса начинается с концевых пар, причем олигонуклеотидная цепь $d(pGCCAAC)$ имеет в целом более высокую температуру плавления (на 1–5° С), чем цепь $d(pTGTGCGC)$. Интервал плавления комплекса в исследованных условиях (D_2O , концентрация олигонуклеотида $1 \cdot 10^{-3}$ М, 0,1 М NaCl, 0,01 М натрий-фосфатный буфер, 0,01 мМ EDTA, рD 7,0) составил 30° С, а температура плавления – около 60° С.

Ранее был разработан метод специфической модификации нуклеиновых кислот с помощью 2',3'-O- $\{4$ -[N-метил-N-(2-хлоратил)амино] $\}$ бензилиденовых производных моно- и олигонуклеотидов в комплементарном комплексе [1–4]. Можно полагать, что главную роль в эффективности протекания реакции алкилирования играет пространственная организация и динамическое состояние комплекса в водном растворе. Следовательно, для понимания механизма комплементарно-адресованной модификации необходимо изучение геометрических параметров комплементарного дуплекса.

В настоящей работе начато исследование комплементарного дуплекса $d(pTGTGCGC) \cdot d(pGCCAAC)$ с использованием спектроскопии ^1H -ЯМР. В последние годы с помощью этого метода (а также метода рентгеноструктурного анализа) был изучен целый ряд комплементарных комплексов олигодезоксикислотидов различного строения [5–15].

Олигонуклеотиды $d(pTGTGCGC) \cdot d(pGCCAAC)$, а также их более короткие фрагменты были синтезированы модифицированным триэфирным методом из защищенных по основанию 3'-O-левуленил-2'-дезокси-нуклеозид-5'-(4-хлорфенил-2-циаптил)fosфатов в соответствии с работой [16].

Отнесение сигналов необмениваемых протонов гетероциклических оснований в спектрах ^1H -ЯМР всех полученных олигонуклеотидов проводили инкрементным методом [17, 18]. Принцип инкрементного метода легко понять из рис. 1 и 2. Наблюдаемые изменения химических сдвигов протонов являются следствием двух причин: 1) появления нового нуклеотидного остатка на 5'-конце олигонуклеотидной цепи; 2) исчезновения одного отрицательного заряда на дважды ионизированной 5'-fosфатной группе. Очевидно, что первый эффект зависит от природы нового нуклеотидного остатка и будет оказывать существенное воздействие на химические сдвиги сигналов протонов не только ближайших, но и сле-

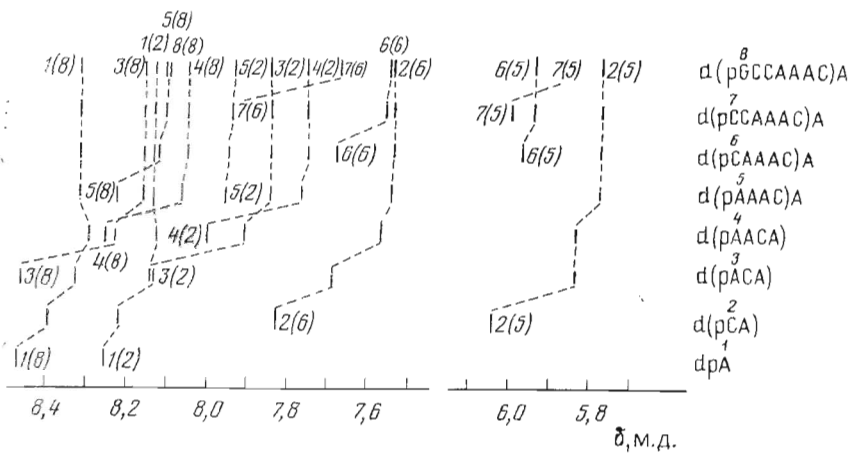


Рис. 1. Схема отнесения сигналов необменяемых протонов гетероциклических оснований для октапуклеотида $d(pGCCAAAC)A$. Цифры указывают на порядковый номер основания в олигонуклеотидной цепи, цифры в скобках определяют положение протона в этом основании

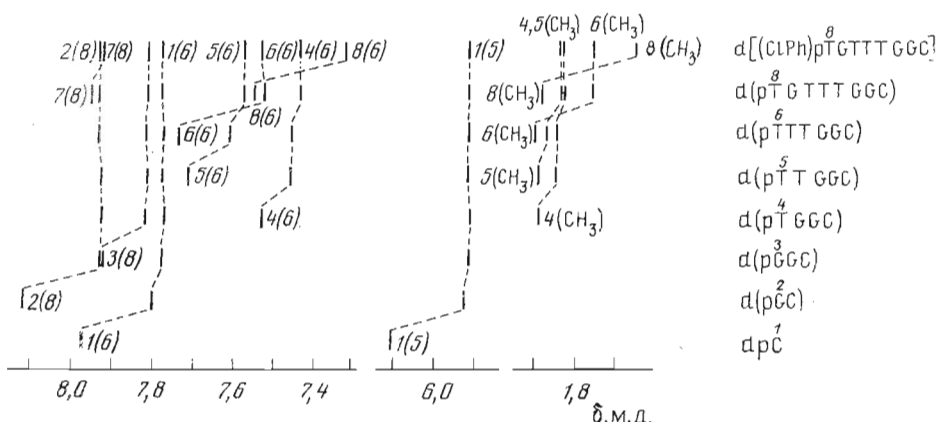


Рис. 2. Схема отнесения сигналов необменяемых протонов гетероциклических оснований для октапуклеотида $d(pGTTTGGC)$. Использованы те же обозначения, что и для рис. 1. CH₃ обозначает сигнал протонов метильной группы тимидина

дующих соседних пуклеозидных остатков [19, 20]. Второй эффект не должен зависеть от природы присоединяемого нуклеотидного остатка и отразится главным образом на сигналах протонов ближайшего соседнего пуклеозидного остатка. Величина этого эффекта должна коррелировать с величинами изменений химических сдвигов сигналов протонов при вторичной ионизации 5'-фосфатной группы ($pK \sim 6$). Как показано в работах [21, 22], для H-8 эти величины составляют $\sim 0,1$ м. д., для H-2 $\sim 0,02$, для H-6 $\sim 0,22$, для H-5 $\sim 0,06$ м. д. На основании этих данных, результатов работ [19, 20] и настоящей работы (см. табл. 1 и 2) можно заключить, что присоединение нового 5'-нуклеотидного остатка вызывает наибольшие изменения в положении сигналов ароматических протонов ближайшего соседнего остатка пуклеозида. Этот принцип был положен в основу отнесения сигналов протонов октапуклеотидов и их фрагментов. Кроме этого, для отнесения сигналов протонов к типу H-8 или H-2 остатков dA (или rA) использовали измерение времени спин-решеточной релаксации аналогично работам [17, 18, 23]. Результаты отнесения сигналов представлены на рис. 1 и 2 и в табл. 1 и 2. В подавляющем большинстве случаев отнесение сигналов было однозначным; в некоторых случаях отнесение не удалось провести достаточно строго.

При введении остатка dA^{3*} в динуклеотид d(pCA) (т. е. при переходе

* Нумерация нуклеотидов — в 3'→5'-направлении.

Таблица I

Значения химических сдвигов сигналов необмениваемых протонов гетероциклических оснований в ^1H -ЯМР-спектрах d(pGCCAAAC)A и его фрагментов в составе и вне комплементарных комплексов

Олигонуклеотиды или комплементарные комплексы	Остаток нуклеозида (номер протона гетероциклического основания)												$t, ^\circ\text{C}$			
	A ¹ (8)	A ¹ (2)	C ² (6)	C ² (5)	A ³ (8)	A ³ (2)	A ⁴ (8)	A ⁴ (2)	A ⁵ (8)	A ⁵ (2)	C ⁶ (6)	C ⁷ (5)	C ⁷ (6)	G ⁸ (8)		
d(pA)	8,470	8,254	7,826	6,043	8,143										70	
d(pCA)	8,396	8,221	7,687	5,842	8,230	7,908	8,255	8,001	7,767	7,756	7,956	7,951	7,680		70	
d(pACA)	8,326	8,134	7,569	5,840	8,461	7,843	8,065	8,055	7,750	8,124	7,951	7,558	5,975		70	
d(pAAC) _A	8,297	8,129	7,543	5,782	8,458	7,844	8,055	7,750	7,756	8,107	7,941	7,558	5,947		70	
d(pAAAC) _A	8,320	8,133	7,541	5,782	8,458	7,846	8,051	7,756	7,756	8,106	7,937	7,551	5,947		70	
d(pCAAAC) _A	8,320	8,133	7,541	5,782	8,458	7,846	8,051	7,756	7,756	8,106	7,937	7,551	5,947		70	
d(pCCAAAC) _A	8,326	8,133	7,542	5,782	8,458	7,846	8,051	7,756	7,756	8,107	7,941	7,558	5,975		70	
d(pGCGAAC) _A *	8,320	8,134	7,544	5,785	8,460	7,850	8,052	7,759	7,759	8,106	7,941	7,558	5,975		70	
d(pGCCAAAC) _A ·d(pTGTGTC)	8,310	8,168	7,600	5,767	8,449	7,981	8,174	7,992	8,174	8,187	7,979	7,659	7,717	5,823	8,062	70
d(pGCCAAAC) _A ·d(pTGTGTC)· d(pGCGAAC) _A ·d(CIPh)p ¹ — GTTGGC]	8,127	7,670	7,155	5,199	8,131	7,192	8,127	7,665	8,240	7,247	7,487	5,653	7,477	5,423	8,187	25
d(pGCCAAAC) _A ·d(CIPh)p ¹ — d(pGCGAAC) _A ·d(pTGTGTC)	8,220	7,863	7,081	5,489	8,027	7,485	8,124	7,667	8,238	7,266	7,487	5,654	7,477	5,423	8,188	25
d(CCAAAC) _A ·d(pTGTGTC)	8,127	7,669	7,162	5,483	8,034	7,218	8,128	7,682	8,249	7,356	7,486	5,733	7,591	5,639	7,983	25
d(CCAAAC) _A ·d(pTGTGTC)	8,127	7,670	7,164	5,185	8,043	7,242	8,128	7,707	8,263	7,347	7,535	5,647	7,725	5,725	—	25

* В верхней строке приведены экспериментальные значения химических сдвигов, в нижней — расчетные значения химических сдвигов; при дрG использованы данные настоящей работы ($\delta_{\text{H}-8} 8,073$ м. д.).

Таблица 2

Значения химических сдвигов сигналов необмениваемых протонов гетеропиридиновых оснований в ^1H -ЯМР-спектрах d(pTGTGTC) и его фрагментов в составе и вне комплексных комплексов

Олигонуклеотиды или комплементарные комплексы	Остаток нуклеозида (номер протона гетероциклического основания)										t , $^{\circ}\text{C}$		
	C (6)	C ¹ (5)	C ² (8)	C ³ (8)	T ¹ (6)	T ⁴ (CH ₃)	T ⁵ (6)	T ⁶ (CH ₃)	T ⁷ (8)	C ⁷ (8)	T ⁸ (6)	T ⁸ (CH ₃)	
dP	7,975	6,108											70
d(pGC)	7,798	5,926	8,419										70
d(pGCC)	7,775	5,948	7,925	7,925									70
d(pTGGC)	7,770	5,945	7,924	7,847	7,529	4,895							70
d(pTTGCG)	7,775	5,948	7,926	7,842	7,454	1,852	7,742	4,895					70
d(pTTGCC)	7,771	5,948	7,932	7,816	7,455	1,850	7,640	4,875	7,736	1,905			70
d(pTGTTGGC) *	7,775	5,916	7,923	7,814	7,433	1,838	7,573	1,838	7,523	1,760	7,947	7,546	1,884
d[(CIPh)pTGTTGGC]	7,769	5,941	7,950	7,936	7,542	1,851	7,602	1,860	7,590	1,847	7,992	7,667	1,899
d(pTGTTGGC) d(pGCCAAC) A	7,773	5,917	7,925	7,814	7,434	1,836	7,574	1,836	7,529	1,760	7,921	7,321	1,695
d[(CIPh)pTGTTGGC] d(pGCCAAC) A	7,677	5,424	7,781	7,885	7,334	1,708	7,507	1,655	7,383	1,386	8,058	7,623	1,766
d[(CIPh)pTGTTGGC] d(pGCCAAC) A	7,477	5,425	7,774	7,863	7,327	1,706	7,502	1,697	7,374	1,401	8,027	7,241	1,517
d(pTGTTGGC) d(pGCCAAC) A	—	—	7,853	7,865	7,348	1,724	7,508	1,669	7,387	1,396	8,064	7,614	1,764
d(pTGTTGGC) d(pGCCAAC) A	7,933	5,831	7,765	7,863	7,347	1,753	7,519	1,681	7,392	1,397	8,045	7,614	1,767

* В верхней строке приведены экспериментальные значения химических сдвигов, в нижней — расчетные значения химических сдвигов; для др^r использованы данные настольной работы ($\delta_{\text{H}-6}$ 7,706 м. д.; δ_{CH_3} 4,914 м. д.).

от d(pCA) к d(pACA), см. табл. 1) возникает неопределенность в отнесении сигналов H-2. Ожидаемый химический сдвиг сигнала H-2 остатка dA¹, согласно параметрам работы [20], должен составить 8,140 м. д. (8,221–0,081), а остатка dA³ – 8,151 м. д. (8,254–0,103). Экспериментальные значения положений сигналов H-2 – 8,134 и 8,143 м. д. Условно первый из этих двух сигналов отнесен к dA¹, а второй – к dA³. В случае тетрануклеотида d(pAAC) также условно отнесены сигналы H-8 и H-2 остатков dA³ и dA⁴. Однако только при данном отнесении сигналов можно объяснить наблюдаемые изменения химических сдвигов протонов H-8 и H-2 при переходе от тетра- к пентаоктаклеотиду d(pAAAC)A. Так, из четырех сигналов H-8 d(pAAAC)A сигнал при 8,320 м. д. принадлежит, очевидно, остатку rA¹ (ожидаемое значение 8,330 м. д.), сигнал при 8,161 м. д.– остатку dA³ (ожидаемое значение 8,167 м. д.), сигнал при 8,065 м. д.– остатку dA⁴ (ожидаемое значение 8,045 м. д.), сигнал при 8,224 м. д.– остатку dA⁵ (ожидаемое значение 8,216 м. д.). Ожидаемые значения химических сдвигов получены с использованием параметров экранирования из работ [19, 20], а также предлагаемого условного отнесения сигналов протонов остатков dA³ и dA⁴ в тетрануклеотиде d(pACA). В случае альтернативного отнесения сигналов расхождение между ожидаемыми и экспериментальными значениями химических сдвигов сигналов H-8 становится значительным: 0,041 м. д. для dA³, 0,067 м. д. для dA⁴ и 0,027 м. д. для dA⁵. Отметим, что химические сдвиги сигналов H-8 остатков dA³ и dA⁴ в d(pACA) достаточно близки (8,230 и 8,255 м. д.), поэтому даже их альтернативное отнесение не влияет на порядок отнесения сигналов H-8 в d(pACA)A. Аналогичные оценки эффектов, влияющих на химические сдвиги сигналов протонов H-2, приводят к заключению, что сигнал при 8,133 м. д. принадлежит остатку rA¹, 7,843 м. д.– остатку dA³, 7,767 м. д.– остатку dA⁴ и 7,956 м. д.– остатку dA⁵. Существенных затруднений в отнесении сигналов ароматических протонов гекса-, гента- и октануклеотида не возникает.

В случае комплементарного октануклеотида d(pTGTGCGC) и его фрагментов (табл. 2) неопределенность возникает лишь при отнесении сигналов H-6 остатков тимидина dT⁵, dT⁶ и dT⁸ при переходе от гекса- к октануклеотиду. Эта проблема была решена с использованием 5'-4-хлорфенильного производного октануклеотида. Из табл. 2 видно, что при переходе от d(pTGTGCGC) к d[(ClPh)pTGTGCGC] наблюдается резкое изменение положения сигналов протонов только одного из остатков dT, а именно dT⁸. Из оставшихся двух сигналов H-6 октануклеотида при 7,523 и 7,573 м. д. первый отнесен к остатку dT⁶, а второй – к dT⁵, поскольку только первый сигнал изменяет свое положение при присоединении 4-хлорфенильной группы к 5'-фосфатному остатку октануклеотида.

Помимо отнесения сигналов инкрементным методом мы рассчитали химические сдвиги необмениваемых протонов гетероциклических оснований в составе обоих октануклеотидов согласно работам [19, 20]. Сопоставление экспериментальных и расчетных величин химических сдвигов (см. табл. 1, 2) показывает их качественное соответствие, хотя в некоторых случаях расхождение оказалось велико: для H-8 dG³ разность $\delta_{\text{расч}} - \delta_{\text{расч}}$ составляет –0,125 м. д., для H-6 dT⁴ –0,109, для H-8 dA¹ –0,112, для H-2 dA⁴ –0,233 м. д. Это указывает на то, что параметры экранирования, выведенные авторами для олигорибонуклеотидов, не применимы полностью для 2'-дезоксипроизводных, либо на то, что выбор самих модельных олигонуклеотидов был неадекватен задаче предсказания химических сдвигов сигналов протонов длиных олигонуклеотидов. Немаловажен также и тот факт, что параметры в работе [20] были получены для 5–12 mM растворов олигонуклеотидов, в то время как использованная нами концентрация олигонуклеотидов в 5–10 раз ниже. Частично расхождение, возможно, также обусловлено различием использованных внутренних стандартов (*тетр*-бутирапол – в работах [19, 20] и 4,4-диметил-4-силапентан-1-сульфонат натрия – в настоящей работе).

В итоге проведенной работы были идентифицированы сигналы всех необмениваемых протонов гетероциклических оснований двух октануклео-

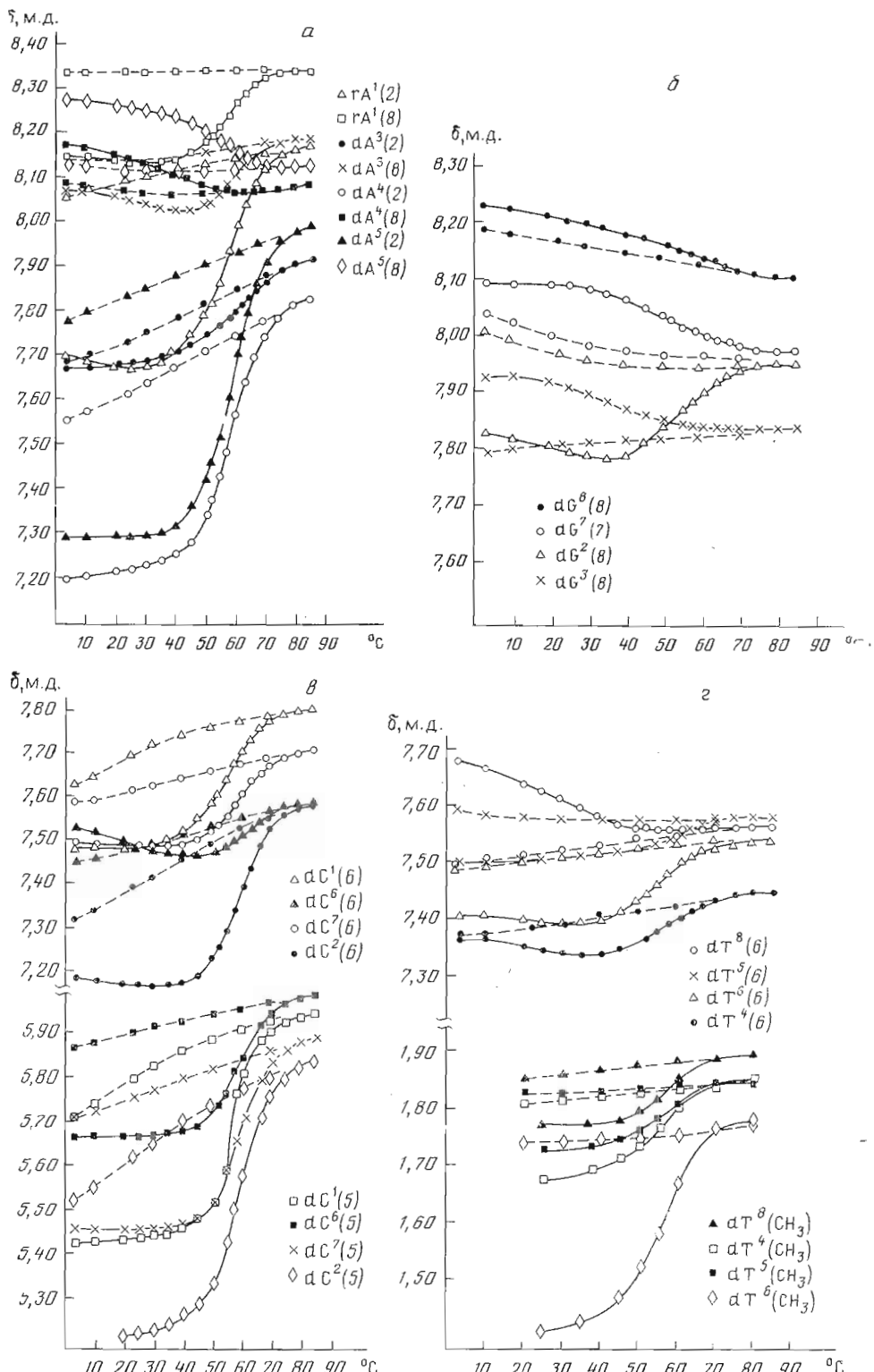


Рис. 3. Температурные зависимости химических сдвигов сигналов необмениваемых протонов гетероциклических оснований dA и rA (а), dG (б), dC (в) и dT (г) для $d(pTGTTGGC)$, $d(pGCCAAC)A$ (пунктир) и их смеси (сплошная линия)

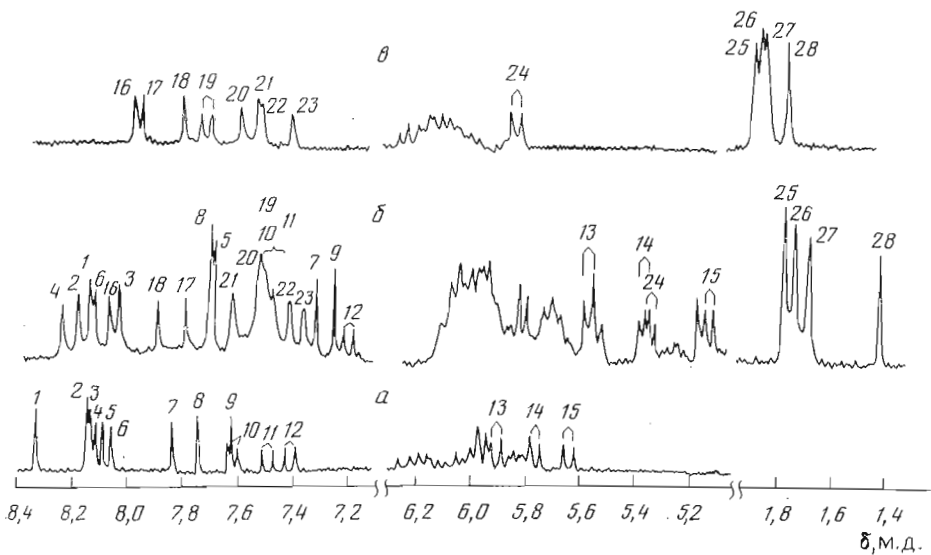


Рис. 4. ^1H -ЯМР-спектры олигонуклеотидов $d(\text{pGCCAAAC})\text{A}$ (α), $d(\text{pGTTTGGC})$ (δ) и их комплекса (β) в области резонанса протонов гетероциклических оснований (200 МГц, 30°C). Нумерация сигналов (приведены порядковый номер нуклеозида (номер протона гетероциклического основания)): 1 – 1(8), 2 – 8(8), 3 – 3(8), 4 – 5(8), 5 – 1(2), 6 – 4(8), 7 – 5(2), 8 – 3(2), 9 – 4(2), 10 – 7(6), 11 – 6(6), 12 – 2(6), 13 – 6(5), 14 – 7(5), 15 – 2(5) для $d(\text{pGCCAAAC})\text{A}$ и 16 – 7(8), 17 – 2(8), 18 – 3(8), 19 – 1(6), 20 – 5(6), 21 – 8(6), 22 – 6(6), 23 – 4(6), 24 – 1(5), 25 – 8(CH_3), 26 – 5(CH_3), 27 – 4(CH_3), 28 – 6(CH_3) для $d(\text{pGTTTGGC})$

тидов и их фрагментов в водном растворе при 70°C . Затем были получены значения химических сдвигов протонов обоих октануклеотидов в интервале 3 – 70°C (рис. 3). Во всех случаях наблюдали плавное, монотонное изменение химических сдвигов сигналов протонов с ростом температуры.

На следующем этапе работы были отнесены сигналы необмениваемых протонов гетероциклических оснований для смеси двух комплементарных октануклеотидов при 70°C , т. е. в условиях, когда комплекс практически разрушен. Из данных табл. 1, 2 видно, что химические сдвиги сигналов соответствующих протонов октануклеотидов как взятых раздельно, так и в виде смеси почти полностью совпадают при 70°C . Это дало основание принять для смеси октануклеотидов при 70°C то же самое отнесение сигналов протонов, что и в растворе свободных октануклеотидов. Наконец, спектры смеси октануклеотидов были записаны при дискретном понижении температуры от 85 до 3°C . На основании этих данных были построены зависимости химических сдвигов сигналов протонов от температуры (рис. 3). Из сопоставления кривых для одних и тех же прото-

Значения T_m (точность определения $\pm 1^\circ\text{C}$), полученные из кривых зависимости комплементарного дуплекса
Прочерк в таблице означает, что температура

$T_m, ^\circ\text{C}$	—	57,0	56,0	59,0	57,0
H	6	CH_3	8	6	CH_3
Комплементарные остатки нуклеозидов		$d\text{T}^8/\text{rA}^1$	$d\text{G}^7/\text{dC}^2$	$d\text{T}^6/\text{dA}^3$	
H	2	8	6	5	2
$T_m, ^\circ\text{C}$	58,0	59,0	60,0	61,0	61,0

нов октануклеотидов и их смеси видно, что эти кривые при высоких температурах стремятся к одному и тому же значению. Более того, в отдельном эксперименте было показано, что разбавление олигонуклеотидов в 2 раза до концентрации $5 \cdot 10^{-4}$ М не приводит при 70°C к заметным изменениям химических сдвигов сигналов протонов гетероциклических оснований. Таким образом, при температурах выше 70°C межмолекулярные взаимодействия комплементарных октануклеотидов практически отсутствуют. С другой стороны, при понижении температуры ход кривых резко различается, причем для смеси комплементарных октануклеотидов кривые имеют сигмоидальный вид, что отражает процесс комплексообразования. Ниже 30°C существенных изменений химических сдвигов сигналов протонов в обоих случаях не наблюдается.

При 25°C была осуществлена проверка правильности отнесения сигналов протонов в комплементарном комплексе (рис. 4). Для идентификации сигналов H-8 остатков 2'-дезоксигуанозина был проведен частичный обмен протонов на дейтерий аналогично методике, приведенной в работе [24]. Четыре сигнала резко уменьшились в интенсивности, что согласуется с количеством остатков dG в составе комплекса. Были записаны также спектры ^1H -ЯМР неполных комплексов: d(pTGTTGGC) · d(pCCAAAC)A, d(pTGTTGG) · d(pGCCAAC)A, а также d[(ClPh) · pTGTTGGC] · d(pGCCAAC)A. Результаты представлены в табл. 1 и 2. Сравнение химических сдвигов сигналов соответствующих протонов в составе этих комплексов и полного комплекса показывает, что наибольшие изменения происходят как раз вблизи от точек «модификаций» в полном соответствии с проведенным отнесением.

Существует и альтернативный подход для отнесения сигналов в спектрах комплементарных комплексов олигонуклеотидов — 2D-спектроскопия ЯМР. В последнее время этот метод наиболее часто используется для решения этой задачи (см., например, [25]). Несмотря на очевидные достоинства, 2D-спектроскопия требует уникального оборудования и относительно больших по сравнению с инкрементным методом затрат приборного времени (по нашим оценкам, в 2–3 раза).

Из кривых зависимости химических сдвигов сигналов протонов от температуры были определены температуры плавления для комплементарного комплекса (табл. 3). Видно, что значения температур плавления для внутренних комплементарных пар комплекса в целом несколько выше, чем для концевых пар. Аналогичные результаты получены ранее для комплексов некоторых коротких олигорибонуклеотидов [26]. В то же время из приведенных данных можно сделать вывод о более прочном стекинг-взаимодействии оснований в октануклеотиде d(pGCCAAC)A по сравнению с d(pTGTTGGC), так как температуры плавления, определенные из кривых для протонов первого октануклеотида, выше, чем второго. Этого и следовало ожидать, так как октануклеотид d(pTGTTGGC) содержит четыре остатка dT, которые значительно хуже

Таблица 3

химических сдвигов сигналов протонов гетероциклических оснований
d(pTGTTGGC) · d(pGCCAAC)A
плавления не определена

58,0	58,0	59,5	58,0	—	54,0	55,0	56,0
6	CH ₃	6	CH ₃	8	8	6	5
dT ⁵ dA ⁴		dT ⁴ dA ⁵		dG ³ dC ⁶		dG ² dC ⁷	
2	8	2	8	6	5	6	5
59,5	—	58,0	59,5	60,5	59,0	58,5	59,0
							57,0

участвуют в стекинг-взаимодействии, чем любой из dA, dG и dC, входящих в состав комплементарного олигонуклеотида.

Таким образом, в настоящей работе был выполнен первый этап исследований модельной системы, которая будет использована для изучения физико-химических и структурных аспектов комплементарно-адресованной модификации. В дальнейшем предполагается исследование этого дуплекса с присоединенным по 2',3'-оксигруппам остатка тА¹ 4-[N-метил-N-(2-хлорэтил)амино]бензилиденовым остатком, который наиболее часто применяется в качестве активной алкилирующей функции при проведении комплементарно-адресованной модификации нуклеиновых кислот.

Экспериментальная часть

Для синтеза октануклеотидов и их фрагментов использовали 4-хлорфениловые эфиры N-ацил-3'-О-левуланилнуклеозид-5'-фосфатов, N-ацилнуклеозид-5'-(4-хлорфенил-2-цианотил)fosфаты, триизопропиленолсульфохлорид (препараты опытного химического производства НИОХ СО АН СССР).

Синтез олигонуклеотидов проводили триэфирным методом согласно работе [16]. В некоторых случаях на последней стадии синтеза использовали N-ацилнуклеосид-5'-(4-хлорфенил-2-цианотил)fosфаты, а удаление концевых и межнуклеотидных 4-хлорфениловых защитных групп после синтеза олигонуклеотидов проводили раствором тетрабутиламмонийфторида, как описано в работе [27]. Полное деблокирование олигонуклеотидов осуществляли обработкой концентрированным водным раствором аммиака в стандартных условиях (50° С, 4 ч).

Выделение деблокированных олигонуклеотидов проводили на хроматографе Altek (США), ионобменную хроматографию — на колонке (1,8×30 см) с аминосилюхромом АС₁₁₁-300 в градиенте концентрации калий-фосфатного буфера (pH 7,5) в 30% ацетонитриле, обращенно-фазовую хроматографию — на колонке (0,46×25 см) со смолой Lichrosorb 5 RP-18 (Macherey-Nagel, ФРГ) в линейном градиенте концентрации ацетонитрила (0—20%) в 0,05 М LiClO₄. Осаждение олигонуклеотидов проводили в ацетоне по методу [28].

Приготовление образцов для записи спектров ¹H-ЯМР. Олигонуклеотиды, предварительно дважды упаренные с D₂O (99,98%), растворяли в буфере, содержащем 0,1 М NaCl, 0,01 М натрий-фосфатный буфер (pD 7,0) и 0,01 mM EDTA в D₂O (99,98%). Концентрация олигонуклеотидов во всех случаях была 1 мМ.

pD измеряли на pH-метре, модель 501 (Orion, США). Поправку на изотопный эффект не вводили.

Спектры ¹H-ЯМР записывали на спектрометрах Bruker WP-200 SY и WH-360, работающих в импульсном режиме; используемая ширина спектров 2500 и 4500 Гц соответственно, цифровое разрешение 0,3 Гц, число накоплений 75—100. Стабилизацию осуществляли по сигналу ЯМР дейтерия растворителя; в качестве стандарта использовали 4,4-диметил-4-циламетан-1-сульфонат натрия, принимая химический сдвиг его сигнала равным 0,000 м. д. Возможное влияние олигонуклеотидов на химический сдвиг сигнала метильных групп стандарта (см. [29]) не учитывали.

Расчет химических сдвигов сигналов протонов проводили по методу [20] с учетом данных для 2'-дезоксинуклеозидов [19] и данных настоящей работы для dрT и dрG.

Авторы выражают глубокую благодарность М. Н. Преображенской и И. В. Ярцевой за помощь в записи спектров ¹H-ЯМР на приборе Bruker WH-360.

ЛИТЕРАТУРА

1. Власов В. В., Гринева Н. И., Зарытова В. Ф., Кнорре Д. Г. Молекулярн. биология, 1970, т. 4, вып. 2, с. 201—204.
2. Гринева Н. И., Зарытова В. Ф., Кнорре Д. Г. Изв. СО АН СССР. Сер. хим. наук, 1986, № 12, вып. 5, с. 118—124.
3. Belikova A. M., Zarytova V. F., Grineva N. I. Tetrahedron Lett., 1967, № 37, p. 3557—3562.
4. Belikova A. M., Гринева Н. И. Молекулярн. биология, 1970, т. 4, вып. 5, с. 697—706.
5. Kan L. S., Chen D. M., Jayaraman K., Leutzinger E. E., Miller P. S., Ts'o P. O. P. Biochemistry, 1982, v. 21, № 26, p. 6723—6732.
6. Clore G. M., Gronenborn A. M. Eur. Biophys. J., 1984, v. 11, № 10, p. 95—102.
7. Wemmer D. E., Chou S., Hare D. R., Raid B. R. Biochemistry, 1984, v. 23, № 10, p. 2262—2268.

8. Jamin N., James T. L., Zon G. Eur. J. Biochem., 1985, v. 152, № 1, p. 157–166.
9. Cavailles J.-A., Neumann J.-M., Tran-Dinh S., Huynh-Dinh T., d'Estaintot B. L., Igolen J. Eur. J. Biochem., 1985, v. 147, № 2, p. 183–190.
10. Patel D. J., Shapiro L., Kozlowski S. A., Gaffney B. L., Kuzmich S., Jones R. A. Biochimie, 1985, v. 67, № 7/8, p. 861–886.
11. Fazakerley G. V., Teoule R., Guy A., Fritzsche H., Guselbauer W. Biochemistry, 1985, v. 24, № 17, p. 4540–4548.
12. Reid D. G., Sulibury S. A., Brown T., Williams D. H. Biochemistry, 1985, v. 24, № 16, p. 4325–4332.
13. Frey M. H., Leupin W., Srensen O. W., Denny W. A., Ernst R. R., Wüthrich K. Biopolymers, 1985, v. 24, № 12, p. 2371–2380.
14. Rinkel R. J., Meltema J.-R., van der Marel G. A., van Boom J. H., Altona C. Eur. J. Biochem., 1985, v. 154, № 2, p. 259–265.
15. Lee S. J., Akutsu H., Kyogoku Y., Kitano K., Tozuka Z., Ohata A., Ohtsuka E., Ikeharu M. J. Biochem., 1985, v. 98, № 6, p. 1463–1472.
16. Зарытова Б. Ф., Иванова Е. М., Романенко В. П. Биоорганическая химия, 1983, т. 9, № 4, с. 516–521.
17. Borer P. N., Kan L. S., Ts'o P. O. P. Biochemistry, 1975, v. 14, № 22, p. 4847–4862.
18. Chen D. M., Kan L. S., Leutzinger E. E., Jayaraman K., Miller P. S., Ts'o P. O. P. Biochemistry, 1982, v. 21, № 4, p. 623–630.
19. Bell R. A., Alkena D., Coddington J. M., Hader P. A., Hughes D. W., Neilson T. Nucl. Acids Res., 1983, v. 11, № 4, p. 1143–1149.
20. Bell R. A., Everett J. R., Hughes D. W., Coddington J. M., Alkema D., Hader P. A., Neilson T. J. Biomol. Struct. and Dyn., 1985, v. 2, № 4, p. 693–707.
21. Jarretzky O. D. J. Amer. Chem. Soc., 1960, v. 82, № 1, p. 229–236.
22. Danyluk S. S., Hruska F. E. Biochemistry, 1968, v. 7, № 3, p. 1038–1043.
23. Ts'o P. O. P., Barriett J. C., Kan L. S., Miller P. S. Ann. N. Y. Acad. Sci., 1973, v. 222, p. 290–306.
24. Schweizer M. P., Chan S. J., Helmcamp G. K., Ts'o P. O. P. J. Amer. Chem. Soc., 1964, v. 86, № 2, p. 696–700.
25. Clore G. M., Gronenborn A. M. FEBS Lett., 1985, v. 179, № 2, p. 187–198.
26. Petersheim M., Turner D. H. Biochemistry, 1983, v. 22, № 2, p. 269–277.
27. Баян Е. В., Горн В. В., Лебедев А. В. Биоорганическая химия, 1985, т. 12, № 6, с. 815–820.
28. Бараш Г. И., Грачев С. А. Биоорганическая химия, 1985, т. 11, № 10, с. 1420–1422.
29. Live D. H., Chan S. I. Org. Magn. Reson., 1973, v. 5, № 6, p. 275–276.

Поступила в редакцию
3.XII.1985
После доработки
7.IV.1986

¹H NMR INVESTIGATION OF THERMAL DENATURATION OF COMPLEMENTARY COMPLEX d(pTGTGTTGGC)·d(pGCCAAAC)A IN AQUEOUS SOLUTION

BICHENKOVA E. V., DENISOV A. Yu*, KUTYAVIN I. V., LEBEDEV A. V.

Novosibirsk Institute of Bioorganic Chemistry, *Novosibirsk Institute of Organic Chemistry, Siberian Branch of the Academy of Sciences of USSR, Novosibirsk

The oligodeoxynucleotides d(pTGTGTTGGC), d(pGCCAAAC)A and their complementary complex have been studied by ¹H NMR spectroscopy. All resonances of nonexchangeable base protons have been assigned by incremental method using the fragments (chain-length from 2 to 7) of the above octadeoxynucleotides. The proton chemical shifts of a given base have been shown to be influenced not only by its 3'- and 5'-end neighbors, but also by more remote nucleotides (up to a third nucleotide, if the latter is dA or dG). A thermal denaturation process for complex d(pTGTGTTGGC)·d(pGCCAAAC)A has been monitored and the temperature dependences of chemical shifts for each nonexchangeable proton of the all heterocyclic bases have been obtained. The complex melting process was found to begin from terminal base pairs. In general the melting temperatures for oligonucleotide d(pGCCAAAC)A were slightly higher (by 4–5°C) than those for d(pTGTGTTGGC). The melting interval was 30°C and average melting temperature about 60°C in the conditions used (D₂O, oligonucleotide concentration 10⁻³ M; 0,1 M sodium chloride; 0,01 M sodium phosphate buffer; 0,01 mM EDTA; pH 7,0).